

# تحلیل توسعه کاربری‌های شهری در مناطق لغزشی با استفاده از تلفیق مدل‌های تصمیم‌گیری چندمعیاره مطالعه موردی: حوضه رود - دره فرحزاد

دریافت مقاله: ۹۰/۷/۳ پذیرش نهایی: ۹۰/۹/۲۲

صفحات: ۸۵ - ۱۰۷

امیر صفاری: استادیار دانشکده علوم جغرافیایی دانشگاه تربیت معلم تهران<sup>۱</sup>

Email: safari@tmu.ac.ir

جعفر موسی‌وند: کارشناس ارشد جغرافیا و برنامه‌ریزی شهری دانشگاه تربیت معلم تهران

Email: mosavand66@gmail.com

سید مروت افتخاری: کارشناس ارشد آموزشی دانشگاه تربیت معلم تهران

Email: eftekhari@yahoo.com

## چکیده

مخاطرات محیطی همواره موجب تغییراتی در شرایط زیست محیطی سکونتگاه‌های انسانی شده و خسارت‌های گسترده‌ای را بر جوامع بشری تحمیل می‌نماید. همجواری سامانه‌های شهری با مناطق پایکوهی و شیب‌های تند طبیعی در حوضه‌های کوهستانی، آسیب‌پذیری ناشی از حرکات دامنه‌ای از نوع لغزشی را افزایش داده است. حوضه کوهستانی رود - دره فرحزاد یکی از مناطق شهری - کوهستانی کلان شهر تهران است که در معرض آسیب‌پذیری ناشی از حرکات دامنه‌ای از نوع لغزشی قرار دارد. در این مقاله با هدف تحلیل ژئومورفولوژیکی توسعه شهری و آسیب‌پذیری ناشی از حرکات زمین لغزش، پهنه‌بندی خطر زمین لغزش‌ها با استفاده از تلفیق مدل‌های وزن دهی چند معیاره انجام شده است. پس از بررسی در مورد ویژگی‌های طبیعی حوضه مطالعاتی و بازدید میدانی، شش عامل و متغیر مستقل شامل عوامل سنگ شناسی، ارتفاع، شیب دامنه‌ها، جهت دامنه‌ها، فاصله از گسل‌ها و فاصله از شبکه زهکشی به عنوان عوامل موثر در وقوع زمین لغزش‌های منطقه انتخاب شده است. نقشه‌ها در محیط نرم‌افزاری Arc GIS توسط عملگرهای فازی و مدل تحلیل سلسله مراتبی (AHP) تولید شده است. به منظور تحلیل بین آسیب‌پذیری ناشی از زمین لغزش‌ها و طبقات توسعه یافته شهری، نقشه کاربری زمین در حوضه با نقشه نهایی پهنه‌بندی خطر همپوشانی داده شد. نتایج نشان داد که از حدود ۱۳٫۲ درصد مساحت محدوده مورد مطالعه (۳٫۰۳۹۵۹۶ کیلومتر مربع) که توسط

۱. نویسنده مسئول: تهران - خیابان شهید مفتاح - دانشگاه تربیت معلم - دانشکده علوم جغرافیایی

کاربری‌های مختلف شهری اشغال گردیده است، ۸۷،۶۶ درصد در محدوده با خطر کم و بسیار کم، ۳،۳۶ درصد در محدوده با خطر متوسط و ۸،۹۶ درصد در محدوده با خطر زیاد و بسیار زیاد قرار دارد.

کلیدواژگان: ژئومورفولوژی، مناطق شهری، توسعه، زمین‌لغزش، کلان‌شهر تهران.

#### مقدمه

مخاطرات محیطی موجب تغییراتی در شرایط زیست محیطی سکونتگاه‌های انسانی شده و خسارت‌های اقتصادی، اجتماعی و محیطی گسترده‌ای را بر جوامع بشری تحمیل می‌نماید. بسیاری از مناطق شهری و روستایی کشور ما در مناطق پایکوهی و برروی سطوح مخروط افکنه‌ای احداث شده و با توجه به فعالیت‌های نو زمین‌ساختی و شرایط متنوع زمین‌شناسی و اقلیمی، مستعد رویارویی با انواع مخاطرات محیطی شده است. یکی از انواع مخاطرات محیطی، فرآیند زمین‌لغزش است که هر ساله موجب خسارت‌های حیاتی به شهرها و روستاها، مراکز صنعتی، جنگل‌ها و مراتع و به ویژه مزارع گشته و یا آنها را مورد تهدید قرار می‌دهد (کمک‌پناه، ۱۳۷۰، ص ۱۲۱). این حرکات براساس تلفیقی از فرآیندهای مختلف در مناطق با توپوگرافی کوهستانی و با لیتولوژی رسوبی رخ می‌دهد و ممکن است به شکل حرکات سریع و یا کند به وقوع بپیوندد (مقیم و همکاران، ۱۳۸۷، ص ۶۱).

همجواری سامانه‌های شهری با مناطق پایکوهی و شیب‌های تند طبیعی در حوضه‌های کوهستانی کلان شهر تهران، آسیب‌پذیری ناشی از حرکات دامنه‌ای از نوع لغزشی را در گستره شمالی این کلان شهر افزایش داده است. عدم ارزیابی دقیق سطوح مختلف این خطر، سبب گسترش ساخت و ساز در پهنه‌های نا امن نیز شده است. در این بخش‌ها به علت وجود شیب‌های تند، تغییرات شدید توپوگرافی، فعالیت‌های زمین‌ساختی، گسلش و وجود زون‌های خرد شده، بارندگی و آب‌های سطحی فراوان، آب و هوای سرد و یخبندان‌های زمستانی، خطر وقوع انواع مختلف زمین‌لغزه‌ها بسیار زیاد است. وقوع زمین‌لغزش‌ها در چند سال اخیر در مناطق شمالی و شمال شرقی کلان شهر تهران و ایجاد خسارت‌های ناشی از این پدیده، لزوم توجه بیش از پیش به شناسایی و تعیین مناطق آسیب‌پذیر و همچنین پیش‌بینی تمهیدات لازم برای جلوگیری از وقوع آنها را الزامی می‌نماید. از سوی دیگر وقوع زمین‌لغزش‌ها معمولاً در اثر زلزله تشدید شده، که این موضوع نیز می‌تواند بر شدت خسارت‌های ناشی از وقوع زمین‌لغزش‌ها بیافزاید (صفری، ۱۳۸۷، ص ۱۵۴). حوضه کوهستانی رود دره فرحزاد با مساحت

حدود ۲۳ کیلومترمربع یکی از مناطق شهری- کوهستانی است که در معرض آسیب‌پذیری ناشی از حرکات دامنه‌ای از نوع لغزشی قرار دارد (شکل شماره ۱). این مقاله درصدد پاسخ گویی به این سوال است که چند درصد از کاربری‌های شهری واقع در این حوضه در معرض خطر این آسیب‌پذیری قرار دارد؟

روش‌های اولیه مانند متدهای مورد استفاده آنبالاگان<sup>۱</sup>، پاچوری و پانت<sup>۲</sup> و مجیا ناوارو<sup>۳</sup>، به طور عمده بر اساس تحلیل همپوشانی نقشه‌های عاملی، وزن‌دهی و ترکیب آنها استوار بوده است. در سال‌های اخیر نیز تحقیقات با ارزش در زمینه پهنه‌بندی خطر زمین لغزش بر اساس روش‌های آماری چند متغیره، با استفاده از داده‌های سنجش از دور و سیستم اطلاعات جغرافیایی و آرایه مدل‌های کمی به کشف روابط بین وقوع حرکات توده‌ای و متغیرهای مورد نظر پرداخته است (کرمی و همکاران، ۱۳۸۶، ص ۳). باتوجه به اینکه از بین انواع مخاطرات طبیعی، پدیده زمین لغزش مدیریت‌پذیرتر می‌باشد، لذا جهت استفاده بهینه از محیط طبیعی و منابع موجود در آن و همچنین برای ایجاد تاسیسات اقتصادی و زیربنایی، با شناخت کامل از محیط و با اعمال مدیریت صحیح در استفاده از آن، می‌توان نسبت به تشدید و تسهیل لغزش‌ها جلوگیری نموده و با برنامه‌ریزی دقیق و درک شرایط طبیعی حاکم بر محیط به ساخت و ایجاد تاسیسات زیربنایی اقدام کرد (امیراحمدی و همکاران، ۱۳۸۹، ص ۱۸۳). پهنه‌بندی خطر زمین لغزش با استفاده از مدل‌های منطق فازی و تحلیل سلسله مراتبی نیز توسط محققین مختلف از جمله مهدوی فر و همکاران (۱۳۷۶)، فاطمی‌عقدا و همکاران (۱۳۸۴)، پورقاسمی و همکاران (۱۳۸۸)، باینجی و همکاران (۱۹۹۸)<sup>۴</sup>، چای و همکاران (۲۰۰۲)<sup>۵</sup>، پیستوچای و همکاران (۲۰۰۲)<sup>۶</sup>، تنگستانی (۲۰۰۳)، کومک (۲۰۰۶)<sup>۷</sup>، چامپاتی ری (۲۰۰۷)<sup>۸</sup> و لی (۲۰۰۷)<sup>۹</sup> انجام شده است.

<sup>۱</sup> - Anbalagan

<sup>۲</sup> - Pachauri & Pant

<sup>۳</sup> - Megia- Navarru

<sup>۴</sup> - Binaghi et.al.(۱۹۹۸)

<sup>۵</sup> - Chi et.al.(۲۰۰۲)

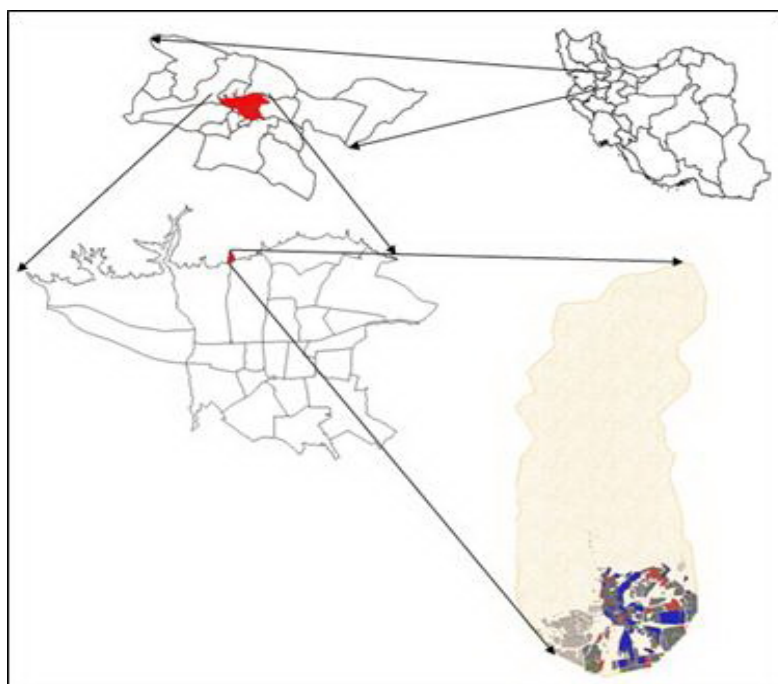
<sup>۶</sup> - Pistocchi et.al.(۲۰۰۲)

<sup>۷</sup> - Komac(۲۰۰۶)

<sup>۸</sup> - Champati- ray et.al.(۲۰۰۷)

<sup>۹</sup> - Lee(۲۰۰۷)

بر این اساس، در این مقاله با هدف تحلیل ژئومورفولوژیکی توسعه شهری و آسیب پذیری ناشی از حرکات زمین لغزش، پهنه بندی خطر زمین لغزشها با استفاده از تلفیق مدل های وزن دهی چند معیاره صورت گرفته است.



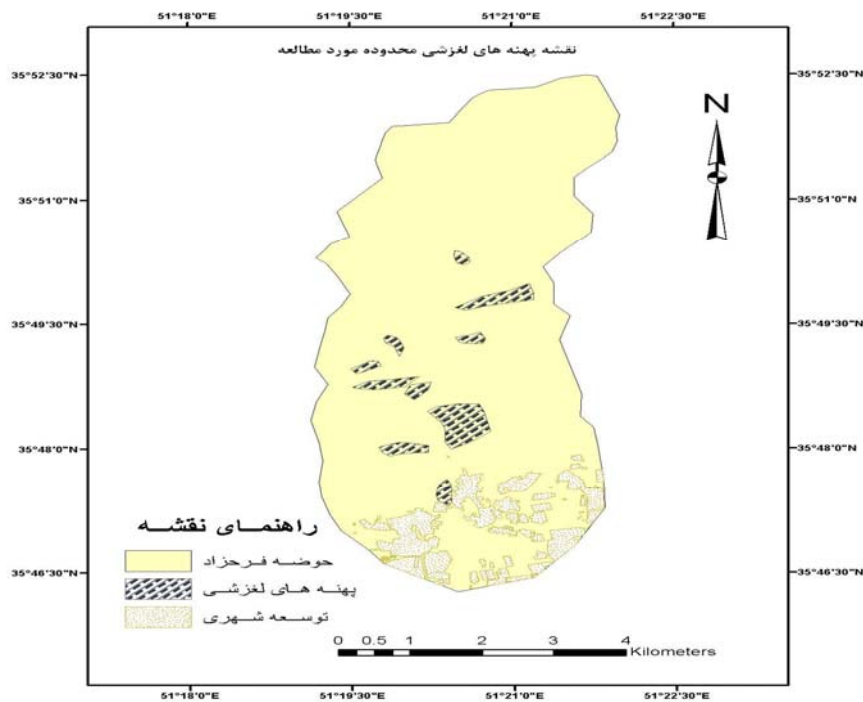
شکل (۱) موقعیت محدوده مورد مطالعه

#### مواد و روش ها

در این مقاله با هدف تحلیل ژئومورفولوژیکی توسعه شهری و آسیب پذیری ناشی از حرکات زمین لغزش در حوضه رود دره فرحزاد، پهنه بندی خطر زمین لغزشها با استفاده از تلفیق مدل های وزن دهی چند معیاره انجام شده است. در ابتدا محدوده مورد مطالعه با استفاده از روش تفکیک و طبقه بندی و به کمک نقشه های توپوگرافی ۱:۲۵۰۰۰ سال ۱۳۸۰ سازمان نقشه برداری کشور تعیین حدود گردید؛ سپس با تفسیر عکس های هوایی منطقه و بازدیدهای میدانی، زمین لغزش های رخ داده در محدوده مورد مطالعه با دستگاه موقعیت یاب جهانی

(GPS)<sup>۱</sup> برداشت و در نهایت نقشه زمین لغزش‌های رخ داده به عنوان نقشه متغیر وابسته تهیه شد (شکل ۲).

پس از بررسی در مورد ویژگی‌های طبیعی حوضه مطالعاتی، بازدید میدانی، مطالعه زمین لغزش‌های رخ داده در آنها، تهیه پایگاه داده‌های جغرافیایی، با توجه به اهداف تحقیق و استفاده از تجارب متخصصین، شش عامل و متغیر مستقل شامل عوامل سنگ شناسی، ارتفاع، شیب دامنه‌ها، جهت دامنه‌ها، فاصله از گسل‌ها و فاصله از شبکه زهکشی به عنوان عوامل موثر در وقوع زمین لغزش‌های منطقه انتخاب و به شکل نقشه‌های فاکتور در نرم افزار مورد استفاده (Arc GIS) ساخته شدند. اطلاعات پایه‌ای این نقشه‌ها از طریق نقشه زمین‌شناسی ۱:۱۰۰۰۰۰ و توپوگرافی ۱:۲۵۰۰۰ محدوده مورد مطالعه استخراج گردیده است.



شکل (۲) نقشه پهنه‌های لغزشی محدوده مورد مطالعه

<sup>۱</sup> - Global Positioning System

نقشه‌های فاکتور به منظور تحلیل نهایی در عملگرهای فازی و مدل تحلیل سلسله مراتبی (AHP) در پهنه‌بندی خطر زمین‌لغزش مورد استفاده قرار می‌گیرند. قابل ذکر است که جهت دست یابی به وزن نهایی در مدل AHP از نرم افزار Expert Choice ۲۰۰۰ استفاده شده است.

### مدل منطق فازی

مفهوم منطق فازی اولین بار توسط دکتر لطفی زاده استاد دانشگاه کالیفرنیا در برکلی، در سال ۱۹۶۵ ارائه گردید. منطق فازی یک منطق چند مقداری است، یعنی پارامترها و متغیرهای آن، علاوه بر اختیار اعداد صفر یا یک می‌توانند تمامی مقادیر بین این دو عدد را نیز اختیار کنند. تعلق هر عضو مجموعه مرجع به یک عضو زیر مجموعه خاص، به صورت قطعی نیست، یعنی با قطعیت نمی‌توان گفت که عضو مورد نظر متعلق به این مجموعه هست یا نه. این عدم قطعیت با نسبت دادن یک عدد بین صفر یا یک به این عضو انجام می‌گیرد (Karnik and Mendel, ۲۰۰۰: ۳۲۸, ۳۲۹). به این

اپراتورهای مدل منطق فازی مشتمل بر موارد زیر هستند:

الف) عملگر اجتماع فازی<sup>۱</sup>      ب) عملگر اشتراک فازی<sup>۲</sup>      ج) عملگر ضرب جبری فازی<sup>۳</sup>  
د) عملگر جمع جبری فازی<sup>۴</sup>      ی) عملگر گاما فازی<sup>۵</sup>

### عملگر اجتماع فازی:

این عملگر اجتماع مجموعه هاست. به این صورت که حداکثر درجه‌ی عضویت را استخراج می‌کند و از دقت بالایی در تعیین آسیب‌پذیری برخوردار نمی‌باشد. این عملگر به صورت زیر تعریف می‌شود:

$$\mu \text{ Combination} = \text{MAX} [\mu A, \mu B, \mu C,]$$

### عملگر اشتراک فازی:

این عملگر اشتراک مجموعه هاست. به این صورت که حداقل درجه‌ی عضویت را استخراج

<sup>۱</sup> - Fuzzy OR

<sup>۲</sup> - Fuzzy AND

<sup>۳</sup> - Fuzzy Algebraic Product

<sup>۴</sup> - Fuzzy Algebraic Sum

<sup>۵</sup> - Fuzzy Gamma

می‌کند، یعنی در بین کلیه لایه‌های اطلاعاتی حداقل ارزش (وزن) هر پیکسل را استخراج کرده و در نقشه نهایی منظور می‌کند. این عملگر به صورت زیر تعریف می‌شود:

$$\mu_{\text{combination}} = \text{MIN} [\mu_A, \mu_B, \mu_C,]$$

#### عملگر ضرب جبری فازی:

در این اپراتور تمامی لایه‌های اطلاعاتی در هم ضرب می‌شوند. به دلیل ماهیت اعداد بین صفر و یک که همان درجه عضویت اعضا در مجموعه فازی می‌باشد، این اپراتور باعث می‌شود تا در نقشه خروجی اعداد کوچک تر شده و به سمت صفر میل کنند؛ در نتیجه تعداد پیکسل کمتری در کلاس خیلی خوب قرار می‌گیرد. (قدوسی، ۱۳۸۲، ص ۴۵). این عملگر به صورت رابطه‌ی زیر تعریف می‌شود:

$$\mu_{\text{Combination}} = \prod \mu_i$$

#### عملگر جمع جبری فازی:

این اپراتور مکمل حاصل ضرب جبری است. به همین دلیل در نقشه خروجی برخلاف اپراتور ضرب جبری فازی ارزش پیکسل‌ها به سمت یک میل می‌کند. در نتیجه تعداد پیکسل بیشتری در کلاس خیلی خوب قرار می‌گیرد. این عملگر به صورت زیر تعریف می‌شود:

$$\mu_{\text{Combination}} = 1 - \prod (1 - \mu_i)$$

#### عملگر گاما فازی:

این عملیات برحسب حاصلضرب جبری فازی و حاصل جمع جبری فازی به صورت زیر تعریف می‌شود:

$$\mu_{\text{Combination}} = [1 - \prod (1 - \mu_i)^\gamma \times (\prod \mu_i)^{1 - \gamma}]$$

توابع گاما از ۰/۱ تا ۰/۹ متغیر است. مقدار گاما به طور کلی از طریق کارشناسی مبتنی بر نتایج حاصل از تجزیه و تحلیل داده‌های مشاهده شده یا تجربیات موجود درباره موضوع مورد بررسی تعیین و یا از طریق آزمون‌های سعی و خطا در تطبیق با شواهد واقعی می‌گردد. از این رو استفاده از عملگر گاما موجب دستیابی به خروجی‌هایی می‌شود که می‌توان مناسب‌ترین مقادیر  $\gamma$  را در تطبیق با واقعیت‌ها و در مقایسه با خروجی‌های حاصل از به‌کارگیری سایر عملگرها، مشخص نمود. زیرا انتخاب مناسب‌ترین خروجی به صورت حالت میانه مقایسه‌ای بین مقادیر حداکثر یا حداقل عضویت و اشتراک هر یک از زیر مجموعه‌ها که به ترتیب تاثیرات افزایشی و کاهش‌ی در

تلفیق موارد مورد نظر و خروجی‌ها دارند، به دلیل امکان در نظر گرفتن مقادیر مختلف برای تمامی گاما میسر می‌باشد. علت این موضوع به ساختار تابع گاما بر می‌گردد. زیرا به ازای مقادیر  $\gamma = 1$  و  $\gamma = 0$  مقدار خروجی‌ها به ترتیب مساوی مقادیر حاصل از توابع جمع جبری فازی و ضرب جبری فازی خواهد بود (عبادی نژاد و همکاران، ۱۳۸۶، ص ۴۳). انتخاب صحیح و آگاهانه  $\gamma$  بین صفر و یک مقادیری را در خروجی به وجود می‌آورد که نشان دهنده سازگاری قابل انعطاف میان گرایش‌های کاهشی و افزایشی دو عملگر جمع و ضرب فازی می‌باشند. این عملگر زمانی استفاده می‌شود که اثر برخی شواهد کاهشی و اثر برخی افزایشی باشد (امیری، ۱۳۸۶، ص ۶۰).

#### مدل تحلیل سلسله مراتبی AHP

از اوایل دهه ۸۰ میلادی آنچه که دانشمندان علم مدیریت به آن توجه ویژه نمودند، در نظر گرفتن بیش از یک معیار یا گزینه برای هر مسأله و نیز مؤثر دانستن معیارهای کیفی در کنار معیارهای کمی در تصمیم‌گیری‌ها بود. از این رو محققان به نام توماس ال ساعتی در دهه ۸۰ میلادی به منظور سیستماتیک نمودن تصمیم‌سازی در شرایطی که تلفیقی از معیارهای کمی و کیفی مد نظر است و مدیران علاقمند نظرات و تجربیات شخصی خود را در تصمیم‌های عمل نمایند، فرآیند تحلیلی سلسله مراتبی را به عنوان یکی از شاخه‌های تصمیم‌گیری چند شاخصه ابداع نمود (احمدی، ۱۳۸۰، ص ۵).

همچنین، روشی است منعطف، قوی و ساده که برای تصمیم‌گیری در شرایطی که معیارهای تصمیم‌گیری متضاد انتخاب بین گزینه‌ها را با مشکل مواجه می‌سازد، مورد استفاده قرار می‌گیرد که تاکنون کاربردهای متعددی در علوم مختلف از جمله برنامه‌ریزی شهری و منطقه‌ای داشته است (زبردست، ۱۳۸۰). این تکنیک یکی از کارآمدترین مدل‌های تصمیم‌گیری و برنامه‌ریزی چند متغیره است که علاوه بر این ویژگی‌های خاصی را نیز بدان می‌افزاید. یک مسأله زمانی می‌تواند یک تصمیم‌گیری چند متغیره باشد که در شرایط زیر صدق نماید (تقوایی و همکاران، ۱۳۸۵):

الف) دارای چند شاخص باشد (ب) هدف، اولویت‌بندی گزینه‌ها یا انتخاب گزینه‌ها برتر از میان چند گزینه باشد.



### تجزیه و تحلیل

#### - تهیه نقشه های فاکتور

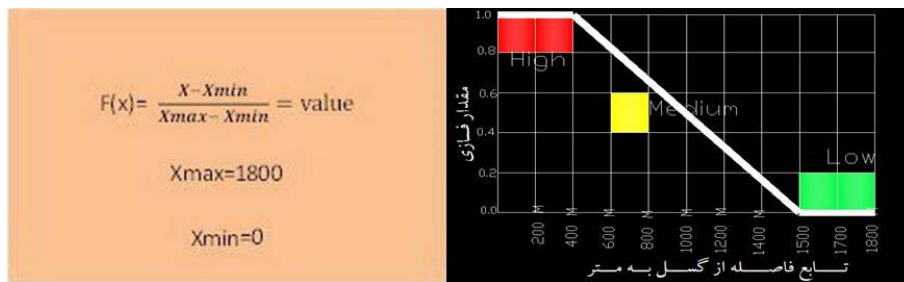
پس از شناسایی و آماده سازی کلیه معیارها و عوامل موثر در آسیب پذیری زمین لغزش، در این مرحله لازم است نقشه های فاکتور هریک از لایه ها آماده شود. آماده سازی نقشه های فاکتور مشتمل بر دو مرحله پردازش و وزن دهی به لایه های اطلاعاتی می باشد. برای این منظور از روش معمول پردازش داده ای موجود در GIS مانند تبدیل ساختار برداری به ساختار رستری، ترکیب چند لایه به صورت یک لایه، تهیه نقشه آنالیز و طبقه بندی مجدد و ... استفاده می شود.

#### - تهیه نقشه فاکتور فازی

در این مرحله وزن دهی در هر یک از زیر معیارها (فاکتورها) بر اساس تاثیر نسبی که در تعیین درجه آسیب زمین لغزش دارند با استفاده از منطق فازی انجام می شود. در هر نقشه فاکتور فازی، ارزش هر یک از کلاس ها و واحدهای مکانی موجود با درجات عضویت فازی حد واسط بین صفر تا یک نشان داده می شود. به منظور تهیه نقشه فاکتور فازی در این پژوهش با تعریف توابع خطی و با توجه به اثر مثبت و یا منفی هر پارامتر و در نظر گرفتن معیارها و ضوابط ارائه شده، دستوراتی در نرم افزار GIS و با استفاده از ابزار Raster Calculator نوشته و اجرا شده است. در نهایت خروجی حاصل از هر مرحله، لایه رستری است که برای هر لایه اطلاعاتی بر اساس طبقه بندی و ضوابط تعریف شده، ارزش هایی بین صفر و یک در نظر گرفته شده است. نقشه های فاکتور به تفکیک هر یک از لایه ها به شرح زیر نمایش داده شده است.

#### - لایه گسل

لایه گسل های موجود در محدوده فرحزاد بر مبنای فاصله (Distance) از محدوده و عوارض، ابتدا رستری شده و سپس به نقشه فاکتور فازی، بر مبنای وزن صفر و یک تبدیل شده است. شکل شماره ۹ (الف) مقدار فازی شده فاصله از گسل های موجود را نشان می دهد. بدین ترتیب که بیشترین فاصله از گسل ۱۸۰۰ متر و کمترین برابر با صفر متر بوده است. مقدار فازی آن برای ۱۸۰۰ متر برابر با صفر در نظر گرفته شد. بیشترین مقدار فازی یک است که در فواصل صفر و نزدیک به آن است. تابع این لایه به صورت خطی کاهشی است. در شکل شماره ۳ فرمول محاسبه و شکل تابع نشان داده شده است.

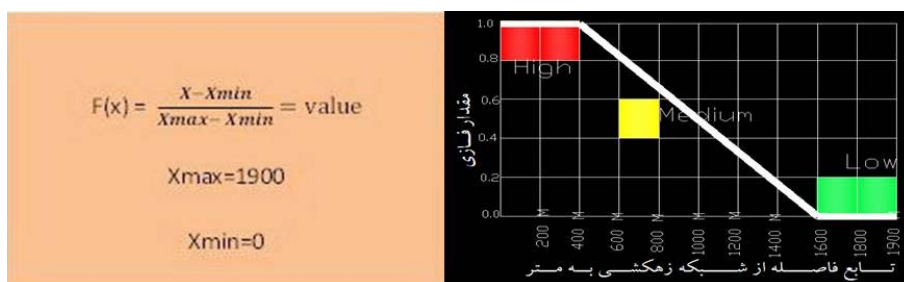


شکل (۳) فرمول و تابع فاصله از شبکه گسل (خطی کاهش)

### لایه شبکه زهکشی

لایه شبکه زهکشی موجود در محدوده فرحزاد نیز بر مبنای فاصله (Distance) از منطقه و عوارض، ابتدا رستری شده و سپس به نقشه فاکتور فازی، بر مبنای وزن صفر و یک تبدیل شده است.

شکل ۹ (ب) مقدار فازی را برای شبکه زهکشی را نشان می‌دهد. بدین ترتیب که بیشترین فاصله از شبکه زهکشی ۱۹۰۰ متر و کمترین برابر با صفر متر بوده است. مقدار فازی آن نیز برای ۱۹۰۰ برابر با صفر و بیشترین مقدار فازی یک است که در فواصل صفر و نزدیک به آن است. تابع آن به صورت خطی کاهش است. در شکل شماره ۴ فرمول محاسبه و شکل تابع نشان داده شده است.

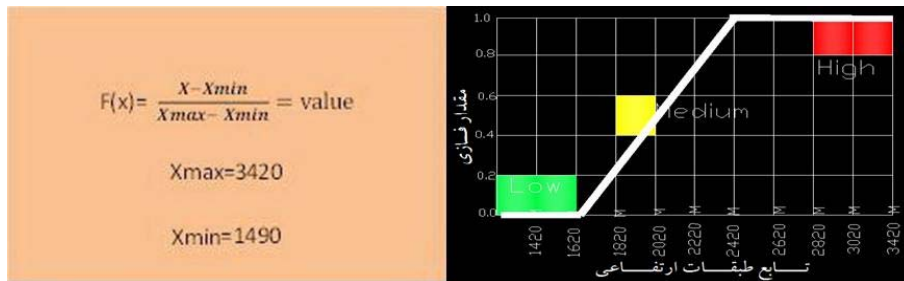


شکل (۴) فرمول و تابع فاصله از شبکه زهکشی (خطی کاهش)

### - لایه طبقات ارتفاعی

لایه طبقات ارتفاعی در محدوده فرحزاد بر مبنای میزان ارتفاع، ابتدا رستری شده و سپس به نقشه فاکتور فازی، بر مبنای وزن صفر و یک تبدیل شده است.

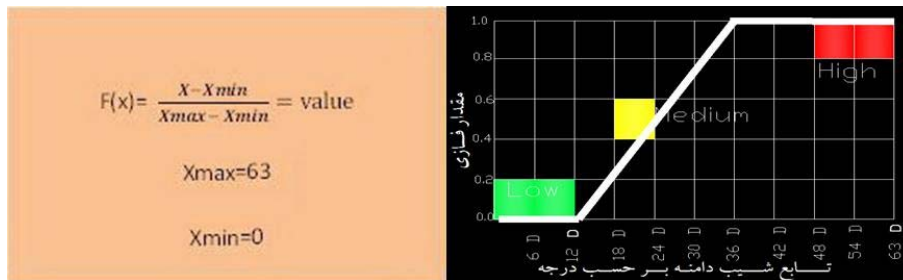
شکل ۹ (ج) مقدار فازی برای طبقات ارتفاعی را نشان می‌دهد. بدین ترتیب که بیشترین ارتفاع برابر ۳۴۲۰ متر و کمترین برابر با ۱۴۹۰ متر بوده است. مقدار فازی آن نیز برای ۱۴۹۰ برابر با صفر و بیشترین مقدار فازی یک است که ارتفاع ۳۴۲۰ متر و نزدیک به آن است. تابع آن به صورت خطی افزایشی است. در شکل شماره ۵ فرمول محاسبه و شکل تابع نشان داده شده است.



شکل (۵) فرمول و تابع طبقات ارتفاعی (خطی افزایشی)

#### -لایه شیب دامنه

لایه شیب دامنه در محدوده مورد مطالعه بر مبنای درجات شیب، ابتدا رستری شده است و سپس به نقشه فاکتور فازی، بر مبنای وزن صفر و یک تبدیل شده است. شکل شماره ۹ (د) مقدار فازی برای شیب دامنه را نشان می‌دهد. بدین ترتیب که بیشترین درجه شیب برابر ۶۳ درجه و کمترین برابر با صفر درجه بوده است. مقدار فازی آن نیز برای صفر درجه برابر با صفر و بیشترین مقدار فازی یک است که ۶۳ درجه و نزدیک به آن است. تابع آن به صورت خطی افزایشی است. در شکل شماره ۶ فرمول محاسبه و شکل تابع نشان داده شده است.



شکل (۶) فرمول و تابع شیب دامنه (خطی افزایشی)

## - لایه جهت شیب

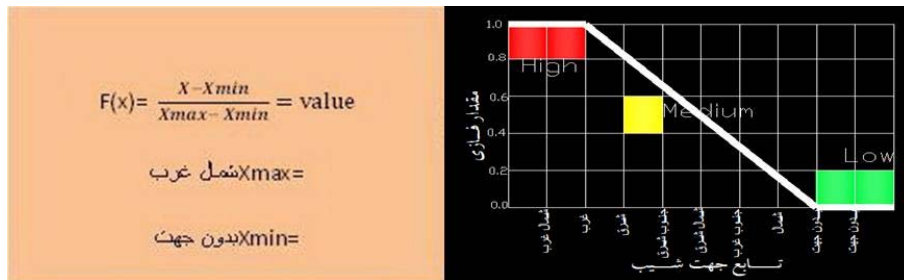
لایه جهت شیب در محدوده فرحزاد بر مبنای جهات آن، ابتدا رستری شده و سپس به نقشه فاکتور فازی، بر مبنای وزن صفر و یک تبدیل شده است.

شکل شماره ۹ (ه) مقدار فازی برای جهات مختلف شیب را نشان می‌دهد. بیشترین مقدار فازی برای جهت شیب شمال غرب که برابر با یک و کمترین مقدار فازی برای بدون جهت شیب است. تابع آن به صورت خطی کاهشی بوده که در شکل شماره ۷ فرمول محاسبه و شکل تابع نشان داده شده است. قابل ذکر است که در این لایه از وزن‌های محاسبه شده طبقات با توجه به مدل LIM (صفاری، ۱۳۸۸، ص ۶۳) استفاده شده است.

در مدل تحلیل آماری "روش شاخص زمین لغزش" (LIM) وزن‌دهی بر اساس میزان تراکم هر واحد یا طبقه لایه عاملی در پهنه‌های لغزش یافته صورت می‌گیرد. این مدل مبتنی بر رابطه زیر می‌باشد (وان‌وستن و ترلین، ۱۹۹۶، ص ۸۵۹).

$$w_i = \ln \left[ \frac{Np_{ix}(S_i)}{Np_{ix}(N_i)} \right]$$

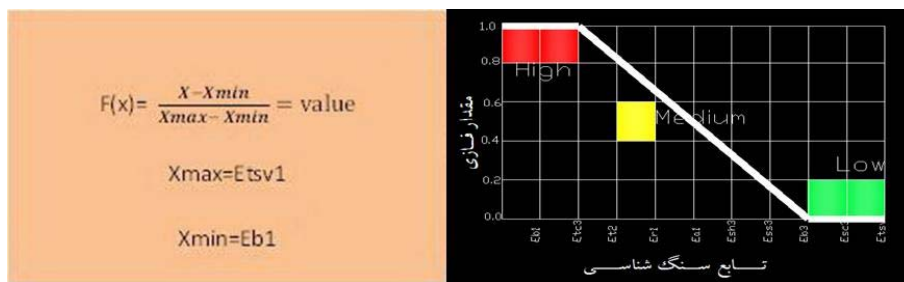
که در آن:  $w_i$  = وزن نهایی هر واحد یا طبقه از لایه عاملی،  $Np_{ix}(S_i)$  = فراوانی لغزش‌ها در هر واحد یا طبقه از لایه عاملی،  $Np_{ix}(N_i)$  = فراوانی هر واحد یا طبقه از لایه عاملی،  $\sum Np_{ix}(S_i)$  = فراوانی کل لغزش‌ها در حوضه‌های زهکشی،  $\sum Np_{ix}(N_i)$  = فراوانی کل حوضه‌های زهکشی و  $\ln$  = لگاریتم نپرین می‌باشد. متغیرهای کیفی با استفاده از این روش کمی می‌شوند. استفاده از لگاریتم نپرین که نوعی تغییر متغیر محسوب می‌شود، باعث شده تا جزئی‌ترین عوامل موثر در وقوع حرکت‌های لغزشی در پهنه‌بندی پتانسیل خطر تاثیر نماید.



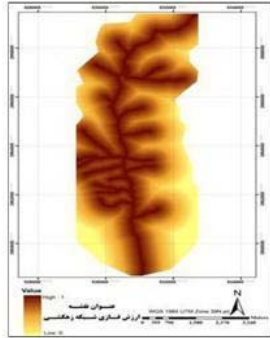
شکل (۷) فرمول و تابع جهت شیب (خطی کاهش)

- لایه سنگ شناسی

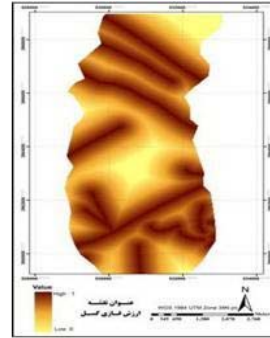
لایه سنگ شناسی در محدوده بر اساس نوع سنگ، ابتدا سلولی شده و سپس به نقشه فاکتور فازی، بر مبنای وزن صفر و یک تبدیل شده است. شکل شماره ۹ (و) مقدار فازی برای انواع سنگ را نشان می‌دهد. بیشترین مقدار فازی برای Etsv1 (توف‌های سبز رنگ همراه با شیل) که برابر با یک و کمترین مقدار فازی برای لایه سنگی Eb1 (گدازه‌های آندزیتی-بازالتی با رگه‌های سیلیسی) است. تابع آن به صورت خطی کاهش یافته که در شکل شماره ۸ فرمول محاسبه و شکل تابع نشان داده شده است. قابل ذکر است که در این لایه نیز از وزن‌های محاسبه شده طبقات با توجه به مدل LIM (صفاری، ۱۳۸۸، ص ۶۳) استفاده شده است.



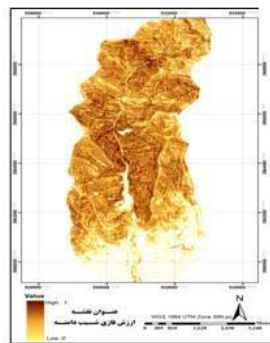
شکل (۸) فرمول و تابع جهت سنگ شناسی (خطی کاهش)



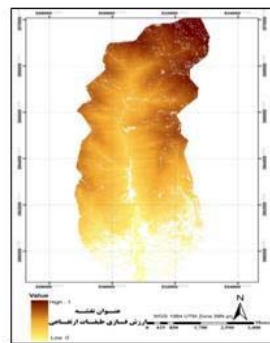
الف



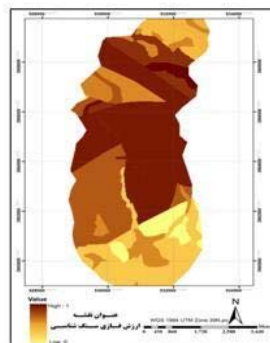
ب



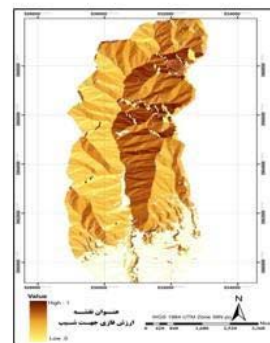
ج



د



ه



و

شکل (۹) نقشه‌های ارزش فازی لایه‌های مورد استفاده

### – تلفیق با استفاده از مدل Fuzzy

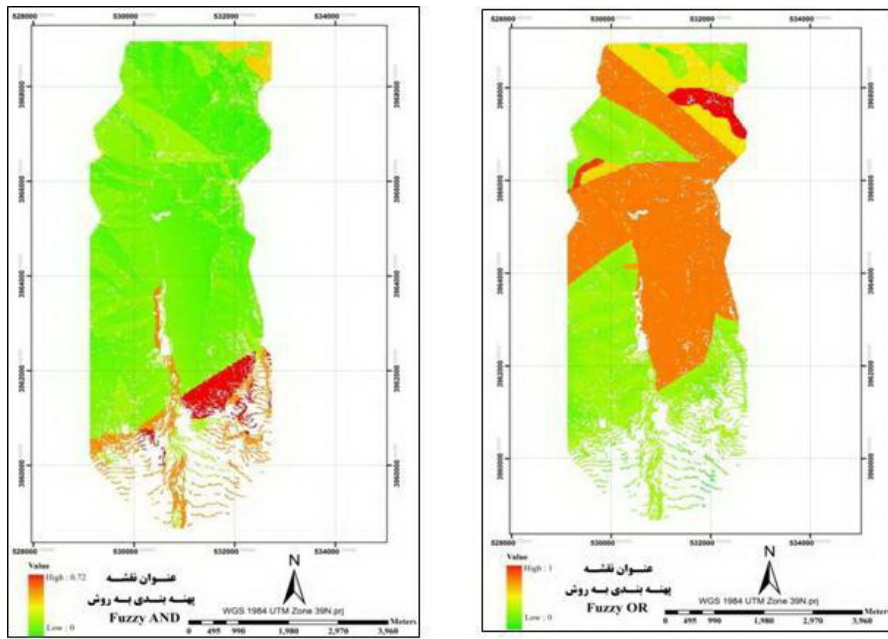
در این بخش با استفاده از سه عملگر فازی (Gamma, And, OR)، پهنه بندی زمین لغزش در محدوده مورد مطالعه مشخص شده است. نقشه‌های این عملگرها به ترتیب در شکل‌های شماره ۱۰ (الف)، (ب) و ۱۲ (الف) نشان داده شده است. در رابطه با خروجی‌هایی که از طریق عملگرهای فازی بدست آمده است باید اشاره کرد که اجتماع فازی (OR) حداکثر درجه عضویت هر پیکسل را در نظر گرفته، بنابراین به طور غیرواقعی به یک میل کرده و بنابراین بیشتر محدوده فرحزاد به عنوان محدوده آسیب‌پذیر شناخته شده است. عملگر اشتراک فازی (And) نیز به صورت واقع بینانه است چرا که حداقل درجه عضویت هر پیکسل را در نظر گرفته؛ بنابراین به سمت صفر میل کرده است. در ادامه عملگرهای گامای فازی (Gamma) مختلف از ۰/۳ تا ۰/۹ محاسبه شد و با توجه به حساسیت خیلی بالای معیارها و همچنین وجود مقادیر زیادی از پیکسل‌ها با ارزش صفر، لذا از گامای نزدیک به Fuzzy Product (گامای ۰/۸) استفاده شده است. در این گاما حساسیت و پیکسل‌های دارای ارزش صفر تعدیل شده است؛ ولیکن با توجه اینکه تعداد زیادی از پیکسل‌ها را حذف کرده، لذا نمی‌توان به تنهایی به آن اکتفا کرد؛ بنابر این از طریق مدل AHP که بر اساس وزن‌دهی کارشناسی است، نیز پهنه‌بندی صورت گرفته است.

### – مدل AHP

جهت محاسبه مدل AHP از نرم افزار Expert Choice ۲۰۰۰ استفاده شده است. همانطور که در جدول شماره (۱) نشان داده شده، بیشترین وزن به شیب دامنه اختصاص یافته است؛ چرا که این معیار نقش موثرتری نسبت به سایر عوامل در ایجاد زمین لغزش دارد. بعد از اعمال ضرایب در نقشه فازی شده لایه ها، از مدل همپوشانی شاخص ها جهت استخراج شکل شماره ۱۲ (ب) استفاده شد. این نقشه، پهنه بندی خطر زمین لغزش با استفاده از مدل AHP را نشان می‌دهد. همچنین شکل شماره ۱۱، نتیجه نهایی محاسبات مدل فوق در نرم‌افزار Expert Choice ۲۰۰۰ است.

جدول (۱) وزن نهایی معیارها در مدل AHP

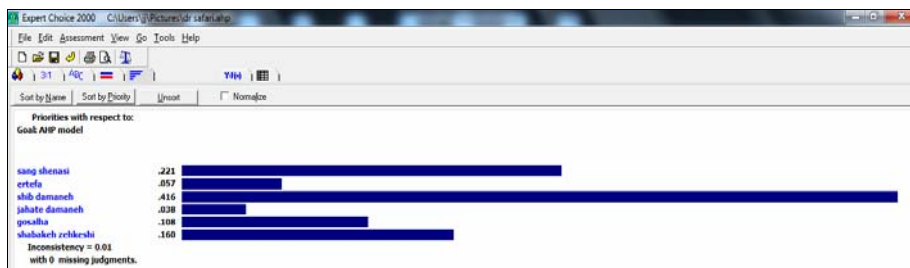
|           | سنگ شناسی | ارتفاع | شیب دامنه | جهت دامنه | گسل‌ها | شبکه زهکشی |
|-----------|-----------|--------|-----------|-----------|--------|------------|
| وزن نهایی | ۰/۲۲۱     | ۰/۰۵۷  | ۰/۴۱۶     | ۰/۰۳۸     | ۰/۱۰۸  | ۰/۱۶۰      |



ب

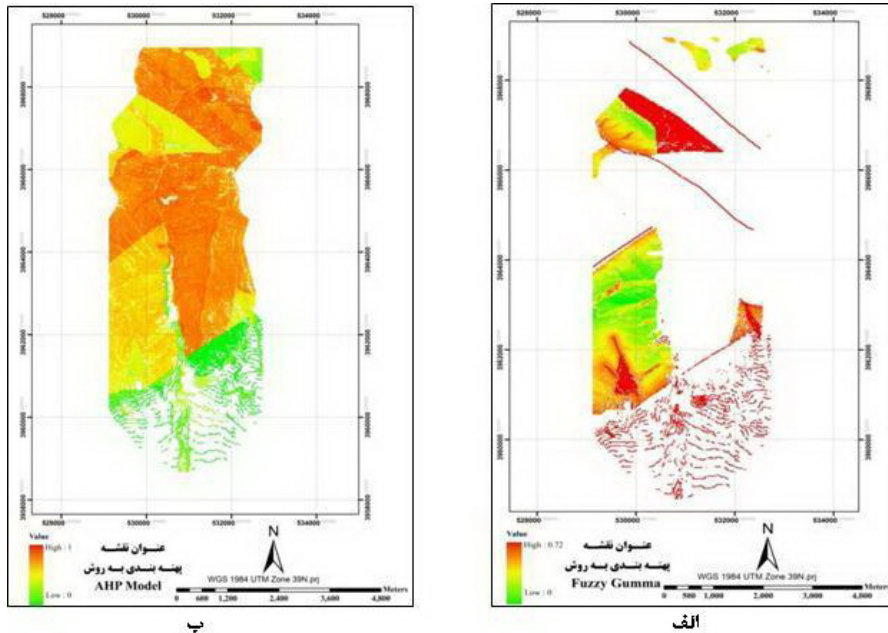
الف

شکل (۱۰) نقشه‌های پهنه‌بندی با روش‌های فازی AND و OR



شکل (۱۱) محاسبات انجام شده در نرم افزار Expert Choice ۲۰۰۰





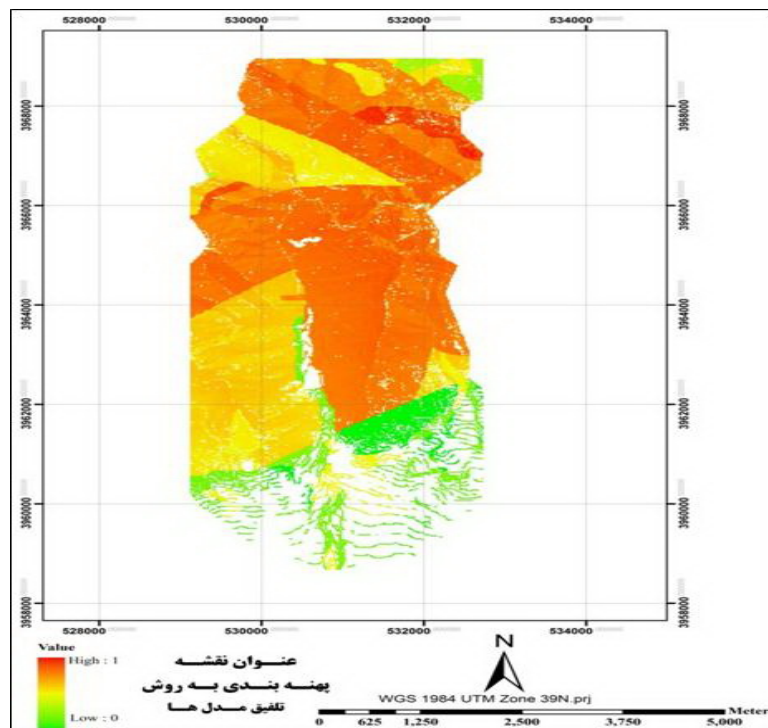
شکل (۱۲) نقشه‌های پهنه‌بندی با روش فازی Gamma و AHP

### بحث و نتیجه گیری

با توجه اینکه هریک از مدل‌های پهنه‌بندی از معایب و محاسن خاصی برخوردار است، در این تحقیق پهنه‌بندی نهایی با تلفیق مدل‌های فازی و تحلیل سلسله مراتبی انجام شد؛ تا نتیجه بهینه و قابل قبولی را ارائه دهد. شکل شماره (۱۳) نتیجه نهایی این تلفیق را نشان می‌دهد. در این نقشه پهنه‌بندی خطر بر مبنای وزن صفر تا یک ارائه شده است. براین اساس، هر چقدر طیف رنگ به طرف عدد یک میل کند، میزان آسیب‌پذیری بیشتر شده است. قابل ذکر است که نقطه تلاقی مدل AHP با فازی و عملگرهای آن، به صورت همپوشانی نتیجه این مدل با نتایج عملگرهای فازی بوده است که در نهایت با یکدیگر و با تاثیر یک اندازه ادغام شده‌اند.

در این رابطه می‌توان گفت که عامل ارتفاع به طور غیر مستقیم تعیین کننده بسیاری از عوامل مسبب زمین لغزش‌ها مانند مقدار بارش سالانه، بارش‌های شدید و رگباری، تغییرات دما و یخبندان و ذوب یخ است. با این وجود این عامل می‌تواند به عنوان یک عامل بسیار مهم و اثرگذار در وقوع زمین لغزش‌ها مطرح باشد. تغییر در شیب دامنه‌ها که ممکن است بطور

طبیعی و یا به صورت مصنوعی (مثلاً توسعه شهری) ایجاد شده باشد، باعث افزایش گرادیان شیب و در نتیجه افزایش تنش‌های درونی توده‌های سنگی و ایجاد شرایط آستانه‌ای لغزش‌ها به واسطه تغییر نیروهای برشی خواهد شد.



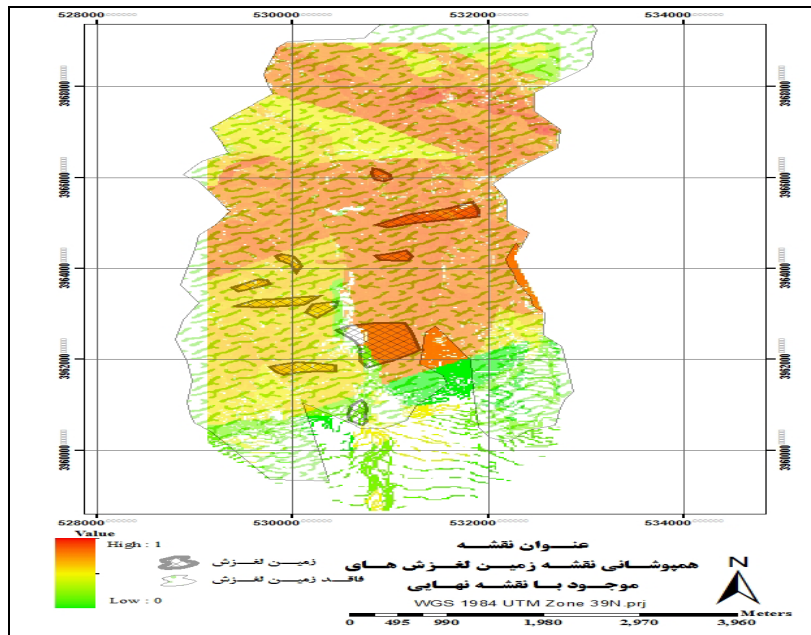
شکل (۱۳) نقشه پهنه بندی نهایی با استفاده از تلفیق مدل‌ها

به منظور تحلیل بین آسیب‌پذیری ناشی از زمین لغزش‌ها و طبقات توسعه یافته شهری، نقشه کاربری زمین در حوضه مورد مطالعه با نقشه نهایی پهنه‌بندی خطر زمین‌لغزش همپوشانی داده شد. جدول شماره ۲ نتیجه حاصل از این همپوشانی را در پهنه‌های با خطر بسیار کم تا بسیار زیاد نشان می‌دهد. بر این اساس از حدود ۱۳/۲ درصد مساحت محدوده مورد مطالعه (۳/۰۳۹۵۹۶ کیلومترمربع) که توسط کاربری‌های مختلف شهری اشغال گردیده است، ۸۷/۶۶ درصد در محدوده با خطر کم و بسیار کم، ۳/۳۶ درصد در محدوده با خطر متوسط و ۸/۹۶ درصد در محدوده با خطر زیاد و بسیار زیاد قرار دارد. برای تدقین موضوع نیز

نقشه نهایی پهنه‌بندی با نقشه زمین‌لغزش‌های برداشت شده همپوشانی گردید. شکل (۱۴) نتیجه این تلفیق را نشان می‌دهد.

جدول (۲) میزان آسیب پذیری مناطق شهرسازی شده در تقابل با زمین لغزش

| تلف آسیب | آسیب پذیری بسیار کم | آسیب پذیری کم | آسیب پذیری متوسط | آسیب پذیری زیاد | آسیب پذیری بسیار زیاد |
|----------|---------------------|---------------|------------------|-----------------|-----------------------|
| مساحت    | ۱۷۴۸۳۱۸             | ۹۱۶۶۴۲        | ۱۰۲۲۱۵           | ۲۵۱۵۴۳          | ۲۰۸۷۸                 |
| درصد     | ۵۷/۵۱               | ۳۰/۱۵         | ۳/۳۶             | ۸/۲۷            | ۰/۶۹                  |



شکل (۱۴) نقشه تلفیق پهنه بندی نهایی با زمین لغزش‌های برداشت شده

این نتایج بیانگر لحاظ نمودن شرایط ژئومورفولوژی و زمین‌شناسی دامنه‌های پرشیب در امر توسعه شهری تهران است، که لازم است توجه جدی به این مهم صورت گیرد و از توسعه شهری به ویژه کاربری‌های مسکونی در این نقاط جداً جلوگیری به عمل آید. کاهش آسیب پذیری ناشی از حرکات لغزشی می‌تواند با تدوین دستور العمل‌های ویژه ساخت و ساز در مناطق کوهپایه‌ای و کوهستانی، توجه به پهنه‌بندی خطر زمین‌لغزش‌ها، رعایت الزامات مربوط

به پایدارسازی دامنه‌های پرخطر و انجام مطالعات ویژه از طریق به کارگیری افراد متخصص و با تجربه در مراکز تصمیم‌گیری حاصل شود.

### منابع و ماخذ

۱. احمدی، منصور (۱۳۸۰) روش AHP و کاربرد آن در ارزیابی عملکرد دستگاه‌های اجرایی براساس فعالیت عمرانی، فصل‌نامه اندیشه و برنامه‌ریزی، شماره پاییز و زمستان.
۲. امیراحمدی، ابولقاسم، کامرانی دلیر، حمید، صادقی، محسن (۱۳۸۹) پهنه‌بندی خطر زمین‌لغزش با استفاده از روش تحلیل سلسله مراتبی (AHP) مطالعه موردی حوضه آبخیز چلاو آمل، فصل‌نامه جغرافیا، دوره جدید، سال هشتم، شماره ۲۷، صص ۲۰۳-۱۸۱.
۳. امیری، فرشاد (۱۳۸۶) مکان‌یابی پست‌های فشارقوی با استفاده از سیستم اطلاعات جغرافیایی، پایان‌نامه کارشناسی ارشد، دانشگاه خواجه نصیرالدین طوسی.
۴. پورقاسمی، حمیدرضا، مرادی، حمیدرضا، فاطمی‌عقدا، سید محمود، مهدوی فر، محمدرضا، محمدی، مجید (۱۳۸۸) ارزیابی خطر زمین‌لغزش با استفاده از روش تصمیم‌گیری چند معیاره فازی، مجله علوم و مهندسی آبخیزداری ایران، سال سوم، شماره ۸، صص ۶۲-۵۱.
۵. تقوایی، مسعود، غفاری، سید رامین (۱۳۸۵) اولویت بندی بحران در سکونتگاه‌های روستایی با روش AHP، مجله پژوهشی دانشگاه اصفهان، جلد بیستم، شماره ۱، صص ۷۴-۴۷.
۶. زبردست، اسفندیار (۱۳۸۰) کاربرد فرایند تحلیل سلسله مراتبی در برنامه‌ریزی شهری و منطقه‌ای، نشریه هنرهای زیبا، شماره ۱۰.
۷. سازمان زمین‌شناسی کشور، نقشه زمین‌شناسی ۱:۱۰۰۰۰۰ محدوده مورد مطالعه.
۸. سازمان نقشه برداری کشور، نقشه توپوگرافی ۱:۲۵۰۰۰ (سال ۱۳۸۰) محدوده مورد مطالعه.
۹. سازمان نقشه برداری کشور، عکس‌های هوایی ۱:۴۰۰۰۰ (سال ۱۳۸۱) محدوده مورد مطالعه.

۱۰. سرداری، محمدرضا (۱۳۸۶) شناسایی و پهنه‌بندی مناطق آسیب‌پذیر جهت رشد سکونتگاه‌های غیررسمی، پایان‌نامه کارشناسی‌ارشد برنامه‌ریزی شهری و منطقه‌ای، دانشگاه تربیت مدرس.
۱۱. صفاری، امیر (۱۳۸۷) قابلیت‌ها و محدودیت‌های ژئومورفولوژیکی کلان‌شهر تهران به منظور توسعه و ایمنی، رساله دکتری، دانشگاه تهران.
۱۲. صفاری، امیر، مقیمی، ابراهیم (۱۳۸۸) ارزیابی ژئومورفولوژیکی توسعه شهری و آسیب‌پذیری ناشی از زمین‌لغزش در دامنه‌های کوهستانی کلان‌شهر تهران، پژوهش‌های جغرافیایی، شماره ۶۷، صص ۷۱-۵۳.
۱۳. عبادی نژاد، سید علی، یمانی، مجتبی، مقصودی، مهران، شادفر، صمد (۱۳۸۶) ارزیابی عملگرهای فازی در تعیین توانمندی زمین لغزش (مطالعه موردی حوزه آبریز شیروود)، علوم و مهندسی آبخیزداری ایران، سال اول، شماره ۲، صص ۴۴-۳۹.
۱۴. قدوسی، جعفر، (۱۳۸۲) مدل‌سازی مورفولوژی فرسایش خندقی و پهنه‌بندی خطر آن (مطالعه موردی در آبخیز زنگان ورد)، پایان‌نامه دکتری، دانشکده منابع طبیعی، دانشگاه تهران.
۱۵. فاطمی‌عقدا، سید محمود، غیومیان، جعفر، تشنه لب، محمد، اشقلی فراهانی، عقیل (۱۳۸۴) بررسی خطر زمین‌لغزش با استفاده از منطق فازی (مطالعه موردی منطقه رودبار)، مجله علوم دانشگاه تهران، شماره ۳۱، صص ۶۴-۴۳.
۱۶. کرمی، فریبا، بیاتی خطیبی، مریم، مختاری، داود (۱۳۸۶) ارزیابی و پهنه‌بندی خطر حرکات توده‌ای مواد در حوضه آبریز اوجان چای، مجله جغرافیا و توسعه، بهار و تابستان ۱۳۸۶.
۱۷. کمک‌پناه، علی (۱۳۷۰) بررسی عوامل موثر بر زمین‌لغزش‌های کشور، مجموعه مقالات اولین کارگاه تخصصی راهبردهای کاهش خسارات زمین لغزش در کشور، چاپ اول، موسسه بین‌المللی زلزله‌شناسی و مهندسی زلزله، تهران.
۱۸. مقیمی، ابراهیم، علوی‌پناه، سیدکاظم، جعفری، تیمور (۱۳۸۷) ارزیابی و پهنه‌بندی عوامل موثر در وقوع زمین‌لغزش دامنه‌های شمالی آلاداغ (مطالعه موردی حوضه

زهکشی چناران در استان خراسان رضوی)، پژوهش‌های جغرافیایی، شماره ۶۴، صص ۷۵-۵۳.

۱۹. مهدوی فر، محمدرضا، فاطمی‌عقدا، سید محمود، (۱۳۷۶) کاربرد تحلیل مجموعه‌های فازی در پهنه‌بندی خطرزمین لغزش و شرح سیستم کامپیوتری تهیه شده، مجموعه مقالات دومین سمینار زمین‌لغزه و کاهش خسارت‌های آن، موسسه بین‌المللی زلزله شناسی و مهندسی زلزله، تهران.

Binaghi, E., Luzi, L., Madella, P., Pergalani, F. and Rampini, A. (۱۹۹۸) *Slope instability zonation: a comparison between certainty factor and fuzzy dempster-shafer approaches*, Natural Hazards, ۱۷: ۷۷- ۹۷.

Champati-ray, P.K., Dimri, S., Lakhera, R.C. and Sati, S. (۲۰۰۷) *Fuzzy-based method for landslide hazard assessment in active seismic zone of Himalaya, Landslides*, ۴: ۱۰۱- ۱۱۱.

Chi, K.H., Park, N.W. and Chung, C.J. (۲۰۰۲) *Fuzzy logic integration for landslide hazard mapping using spatial data from Boeun, Korea*. Symposium Geospatial Theory, processing and Applications, Ottawa, ۲۰۰۲. ۶pp.

Guanrong Chen, Trung Tat Pham (۲۰۰۱) "Introduction to fuzzy sets, fuzzy logic, and fuzzy control systems" Boca Raton London New York Washington, D.C. ISBN ۰-۸۴۹۳-۱۶۵۸-۸ (alk. Paper)

Karnik, Nilesh N. and Mendel, Jerry M. (۲۰۰۰), "Operations on type-۲ fuzzy sets" *Signal and Image Processing Institute*, Department of Electrical Engineering-Systems, ۳۷۴۰ McClintock Ave., EEB۴۰۰, University of Southern California, Los Angeles, CA ۹۰۰۸۹-۲۵۶۴, USA.

Komac, M. (۲۰۰۶) *A landslide susceptibility model using the Analytical Hierarchy Process method and multivariate statistics in perialpine Slovenia*, Geomorphology, ۷۴, ۱۷-۲۸.

Lee, S. (۲۰۰۷) *Application and verification of fuzzy algebraic operators to landslide susceptibility mapping*, Environmental Geology, ۵۲: ۶۱۵-۶۲۳.

Pistocchi, A., Luzi, L. and Napolitano, P.(۲۰۰۲) *The use of predictive modeling techniques for optimal exploitation of spatial databases: a case study in landslide hazard mapping with expert system-like methods*, Environmental Geology, ۴۱: ۷۶۵-۷۷۵.

Tangestani, M.H. (۲۰۰۳) *Landslide susceptibility mapping using fuzzy gamma operation in GIS, Kakan catchment area*, Iran, Proceedings of the Map India ۲۰۰۳ Conference, copyright GIS Development.

Van Westen, C. J. and Terlien, M. T. J. (۱۹۹۶) *An approach towards deterministic landslide hazard analysis in GIS. A case study from Manizales (Colombia)*. Earth surface processes and landforms, ۲۱: ۸۵۳-۸۶۸.